

01

Исследование проницаемости и перколяционных свойств систем твердых прямоугольных частиц методом компьютерного моделирования

© А.И. Тупицына,¹ Ю.А. Фадин²

¹ Санкт-Петербургский национальный исследовательский университет информационных технологий, механики и оптики (Университет ИТМО),
197101 Санкт-Петербург, Россия

² Институт проблем машиноведения РАН,
199178 Санкт-Петербург, Россия
e-mail: atupitsyna@mail.ru

(Поступило в Редакцию 21 декабря 2015 г.)

Методом компьютерного моделирования исследована двумерная пористая среда, содержащая твердые частицы прямоугольной формы. Использовалась модель непересекающихся прямоугольников на квадратной решетке. Изучено влияние площади, линейных размеров и степени ориентации прямоугольников на перколяцию пор и частиц системы при различных способах заполнения решетки. Проведен сравнительный анализ полученных зависимостей и предложены объяснения обнаруженным эффектам.

Введение

При исследовании неоднородных сред методами компьютерного эксперимента широко используется модель перколяции.

В последние 15–20 лет в связи с успехами нанотехнологий получили развитие модели перколяции неточечных объектов различной формы. Такие модели применяются для изучения свойств материалов из углеродных нанотрубок, полимерных и керамических материалов с наноразмерными наполнителями, композиционных пленок и адсорбированных слоев. Одной из важных задач исследования систем с неточечными объектами является установление зависимости между параметрами частиц и значением их критической концентрации, или порога перколяции, P_c . Наиболее простая модель, позволяющая исследовать связь между характеристиками частиц и перколяционными свойствами системы, реализуется путем заполнения квадратной решетки неперекрывающимися или частично перекрывающимися прямоугольниками. Перколяция прямоугольных частиц на квадратной решетке исследовалась в работах [1–8]. В работах [1,2] изучалась перколяция квадратов, осаждаемых на решетке методом случайной последовательной адсорбции (RSA). Авторами [3–5] рассматривалась перколяционная задача r -меров на квадратной решетке (r -мером называется прямоугольник длиной $L = r$ и шириной $d = 1$). Зависимость перколяционных свойств от осевого отношения $r = L/d$ и степени ориентации прямоугольников исследовалась в работах [6–8].

Тем не менее результаты исследований систем, образованных прямоугольными частицами, нельзя считать исчерпывающими. Возможность исследования перколяции твердых частиц в моделях RSA является сильно ограниченной из-за явления джемминга. Джеммингом

называется эффект достижения предельной концентрации $\rho_j < 1$. Выводы авторов [3–5] не согласуются между собой. Данные о перколяции прямоугольников с $d > 1$ практически отсутствуют. Для получения более полной информации о влиянии параметров частиц на специфику перколяционного перехода необходимы дополнительные исследования.

Систему непересекающихся прямоугольных объектов на квадратной решетке можно рассматривать и как модель пористой среды. Пространство пор в этой модели образует совокупность узлов решетки, не занятых частицами. Проницаемость среды определяется значением порога перколяции пор P_r , т.е. минимальной концентрацией свободных ячеек, при которой образуется поровый перколяционный кластер. Можно предположить, что факторы, влияющие на перколяцию твердых частиц, будут оказывать воздействие (противоположного характера) на проницаемость среды. В этой связи представляет интерес исследование перколяционных свойств частиц и проницаемости системы в рамках одной модели.

В настоящей работе моделировалась двумерная пористая среда, сформированная прямоугольными твердыми частицами. Рассматривались зависимости порога перколяции изотропных и анизотропных частиц от их площади и степени ориентации, а также зависимости перколяции пор (проницаемости среды) от тех же факторов. Наполнение решетки осуществлялось двумя способами: по алгоритму случайной последовательной адсорбции (Random Sequential Adsorption (RSA)) и по алгоритму сканирования решетки (Grid Scan Algorithm (GSA)). Метод GSA не дает эффекта джемминга и позволяет исследовать системы, содержащие частицы больших размеров.

Описание метода GSA приведено в разд. 1 настоящей работы.

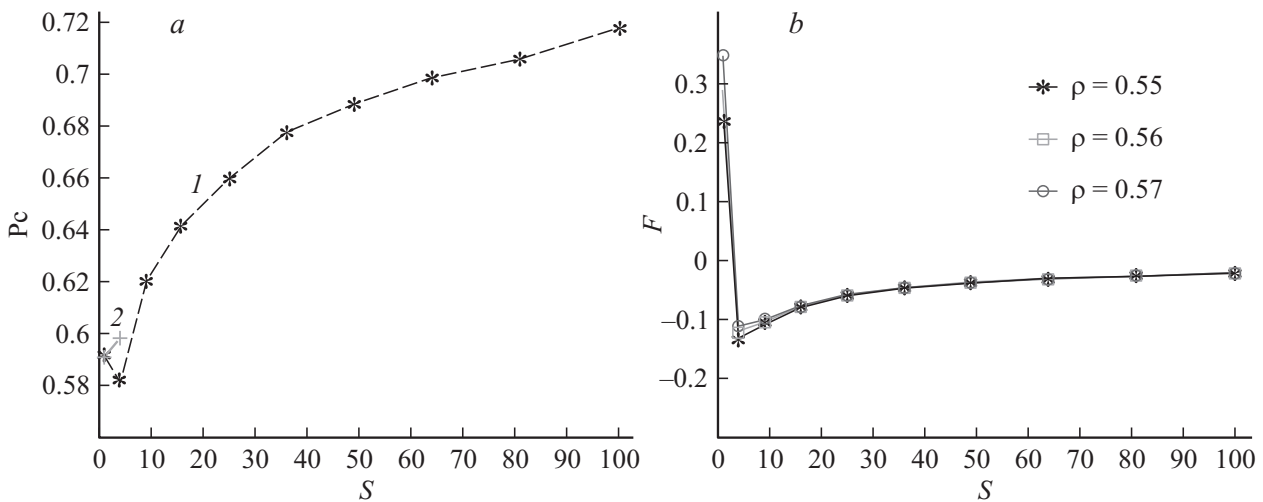


Рис. 1. *a* — зависимости порога перколяции твердых частиц квадратной формы P_c от площади частиц S . Единица измерения площади — элементарная ячейка решетки. *1* соответствует решетке, наполняемой по методу GSA, *2* — системе, сформированной по методу RSA. *b* — зависимости свободной энергии Гельмгольца F системы твердых квадратов от площади квадратов при значениях объемной концентрации ρ , близких к P_c .

1. Техника моделирования

Моделирование проводилось на двумерных квадратных решетках, размеры которых составляли 300×300 , 500×500 и 600×600 элементарных ячеек, в зависимости от размеров частиц. Основная часть результатов получена на решетке 300×300 , на решетках больших размеров рассматривались лишь системы прямоугольников с $L > 20$.

Конфигурации твердых частиц на решетке создавались двумя способами: по механизму RSA и с помощью алгоритма GSA.

Суть последнего метода заключается в следующем: задается тестовый параметр P_{0r} — вероятность того, что узел решетки (точнее, правая верхняя вершина элементарной ячейки) совпадает с одной из вершин прямоугольника. Узлы нумеруются и просматриваются последовательно, друг за другом, в порядке возрастания их индексов. В случае обнаружения вершины прямоугольника задается ориентация одной его стороны (как правило более длинной), причем вектор ориентации \mathbf{I} указывает в случайно выбранном, одном из четырех направлений на решетке (вверх, вниз, влево, вправо). Ориентация другой стороны задается в одном из двух направлений, перпендикулярных к \mathbf{I} . Далее прямоугольник достраивается с учетом запрета на пересечения фигур.

Первоначально низкое значение P_{0r} увеличивают до тех пор, пока при некотором $P_{0r} = P_{0c}$ в системе не возникает перколяция. Для расчета значения порога перколяции генерировалось 70–100 конформаций при фиксированном P_{0c} . Порог перколяции считался достигнутым, если по крайней мере 50% от всех конформаций содержали перколяционный кластер.

2. Результаты и обсуждение

2.1. Изотропные частицы

2.1.1. Перколяция твердых частиц. На рис. 1, *a* представлены зависимости порога перколяции P_c твердых частиц квадратной формы от площади частицы. В системах, созданных по методу RSA, порог перколяции определяется лишь для частиц с $L = 1, 2$, где L — сторона квадрата ($L = d$). Перколяция квадратов больших размеров не наблюдается из-за джемминга. В связи с этим нами будет обсуждаться лишь одна зависимость — для структур, сформированных по механизму GSA. Из рисунка видно (кривая *1*), что увеличение размеров (площади S) частиц приводит к возрастанию величины порога перколяции во всем интервале исследуемых значений, за исключением области $S \in (1-4)$. В точке $S = 4$ зависимость имеет минимум. Для прояснения возможных причин наблюдаемой немонотонности рассмотрим графики кривых $F(S)$ на рис. 1, *b*, где F — свободная энергия Гельмгольца статистического ансамбля твердых квадратов в единицах $K_B T$, K_B — постоянная Больцмана, T — температура. Величина свободной энергии рассчитывается следующим образом [9]:

$$F = F_0 + F_{id} + F_{ex}, \quad (1)$$

где F_0 — константа, F_{id} — свободная энергия идеального газа частиц:

$$F_{id} = c \ln(c) - c, \quad (2)$$

c — численная концентрация, т. е. количество квадратов в единице двумерного объема: $c = N_p/V = \rho/S$, где N_p — число частиц, V — объем системы, ρ — объемная концентрация, или плотность заполнения.

Определение порога перколяции твердых квадратов различными методами

Метод	Площадь квадрата, S			
	1	4	9	16
RSA	0.589 ± 0.002	0.591 ± 0.002	—	—
GSA	0.589 ± 0.002	0.571 ± 0.002	0.609 ± 0.002	0.631 ± 0.002
MK	0.589 ± 0.001	0.57 ± 0.001	0.594 ± 0.001	0.625 ± 0.001

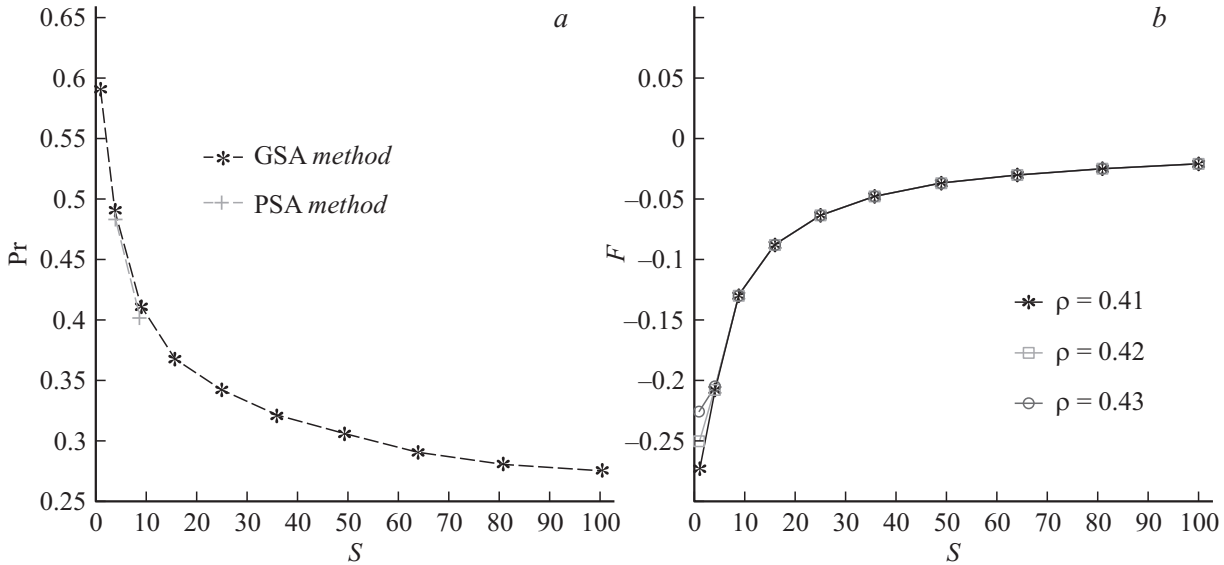


Рис. 2. a — Зависимости порога перколяции пор Pr от площади квадратов S . 1 — метод GSA, 2 — метод RSA. b — Зависимости свободной энергии Гельмгольца F системы твердых квадратов от площади квадратов при значениях концентрации ρ , близких к $(1 - Pr)$.

F_{ex} — составляющая свободной энергии, зависящая от размеров квадратов:

$$F_{ex} = c (-\ln(1 - \rho) + 0.5c/(1 - \rho) * V^0), \quad (3)$$

где $V^0 = V_{excl} - 2S$, V_{excl} — двумерный исключенный объем — область, занимаемая двумя частицами и недоступная для проникновения других частиц, $V_{excl} = 4L^2$.

Отметим, что для ансамбля твердых частиц в отсутствие сил притяжения свободная энергия Гельмгольца содержит только энтропийную составляющую, т.е. минимум свободной энергии соответствует максимуму энтропии.

Видно, что минимум кривой I на рис. 1, a совпадает с минимумом свободной энергии на рис. 1, b . Это обстоятельство может указывать на связь между значениями критической концентрации и термодинамическими характеристиками системы. Следует, однако, иметь в виду, что сравнение кривых имеет смысл лишь в том случае, если представленные на них зависимости относятся к одним и тем же конфигурациям системы. Формулы (1)–(3) справедливы для однородной системы в состоянии термодинамического равновесия. Это, в

частности, означает, что частицы в объеме системы распределены равномерно ($c = \text{const}$, $\rho = \text{const}$).

Для исследования перколяционных свойств ансамбля твердых частиц в состояниях, наиболее близких к термодинамически равновесным, нами были проведены тестовые расчеты значений Pr нескольких систем с большими значениями N_p (малыми S) методом Монте-Карло (МК). В целях сокращения времени вычислений моделирование проводилось на решетке размером 100×100 . Генерация конфигураций осуществлялась путем пошагового сдвига случайного квадрата с запретом на пересечения фигур. В ходе моделирования было реализовано 5×10^5 конфигураций до достижения системой состояния равновесия и столько же в состоянии равновесия.

Результаты тестового моделирования представлены в таблице. Из данных таблицы следует, что в случае малых частиц ($S \leq 4$) величины критической концентрации для наиболее вероятных конфигураций, реализованных методами МК и GSA, практически совпадают. Для квадратов с $S = 9$ и $S = 16$ значения Pr , вычисленные по методу GSA, оказываются выше, чем значения, рассчитанные методом МК. Учитывая тот факт, что

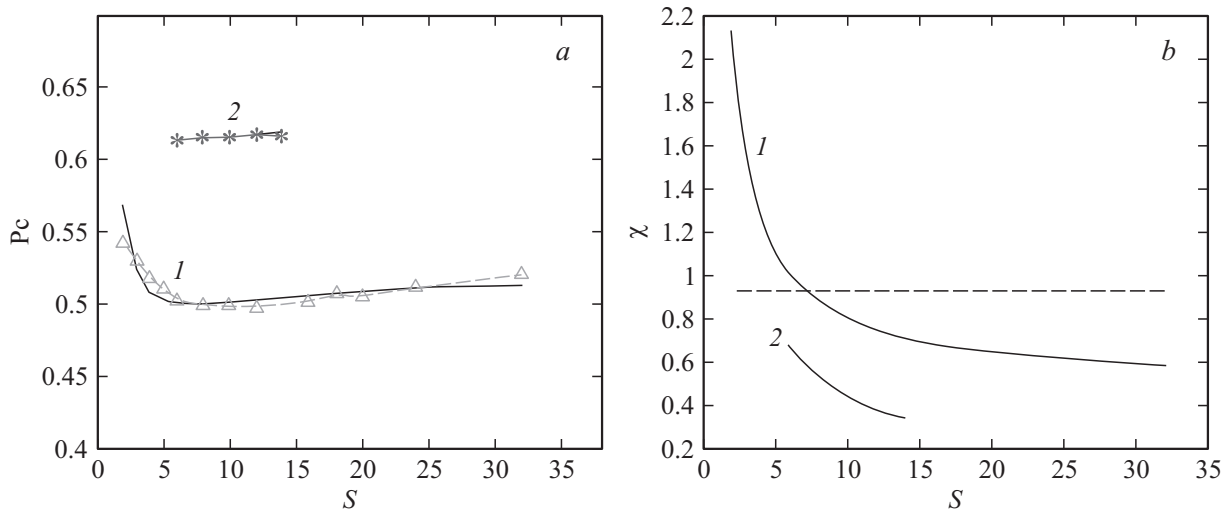


Рис. 3. Системы прямоугольников, сформированные по методу RSA. *a* — зависимости P_c от площади прямоугольников S . 1 — $d = 1$, 2 — 2. Сплошные линии соответствуют зависимостям, рассчитанным по формуле (5) при $a = 0.5$; $b = 2.2$ (кривая 1) и $a = 0.61$; $b = 0.17$ (кривая 2). *b* — зависимости параметра $\chi = B/S$ от площади неориентированных прямоугольников S . 1 — $d = 1$, 2 — 2. Штриховая линия — прямая $\chi = 0.93$.

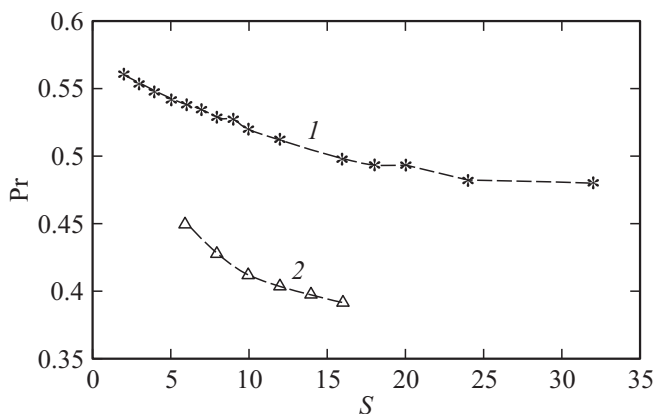


Рис. 4. Зависимости порога перколяции пор Pr от площади прямоугольников S . 1 — $d = 1$, 2 — 2.

свободная энергия наиболее вероятных конфигураций МС минимальна, из полученных результатов можно сделать следующие выводы:

1) наименьшее значение функции $P_c(S)$ P_{c_min} соответствует ансамблю, характеризующемуся наименьшей свободной энергией (максимальной энтропией) при $\rho \rightarrow P_{c_min}$,

2) наименьшее значение P_c соответствует конфигурации (состоянию системы) с наименьшей свободной энергией, т.е. наиболее близкой к термодинамически равновесной.

Резкое возрастание $P_c(S)$ в области больших значений S вызвано, по-видимому, увеличением роли локальных флуктуаций и нарушением статистических закономерностей в системах с малым числом частиц.

2.1.2. Перколяция пор. Известно [10], что увеличение размеров твердых частиц в реальных пористых системах приводит к увеличению связности пор, что, в свою очередь, вызывает рост проницаемости среды.

Аналогичное поведение характерно для систем, моделируемых в нашем компьютерном эксперименте. На рис. 2, *a* представлены кривые зависимостей значений критической концентрации пор от площади квадратов S . Как видно из рисунка, значение Pr при росте S монотонно снижается. Максимальное значение Pr_{max} достигается при $S = 1$ и составляет 0.591, что соответствует плотности заполнения $\rho_{Pr} = 1 - Pr_{max} = 0.409$. Отметим, что свободная энергия Гельмгольца F , как функция от площади частиц при $\rho \rightarrow \rho_{Pr}$, в точке $S = 1$ принимает наибольшее значение (рис. 2, *b*). Исходя из наблюдаемой контрлогии с перколяционными свойствами твердых частиц, можно предположить, что низкие значения Pr свойственны низкоэнтропийным системам, в частности системам с неравномерным распределением плотности заполнения.

2.2. Анизотропные частицы

2.2.1. Системы, сформированные по механизму RSA. Прямоугольники с $L > d$ обладают вращательной степенью свободы и при определенных условиях способны к формированию ориентационно-упорядоченных структур. Степень упорядоченности, или степень ориентации частиц характеризуется величиной $g = N_{||}/N_p$, где $N_{||}$ — количество прямоугольников, ориентированных параллельно друг другу.

На рис. 3, *a* приведены кривые зависимостей порога перколяции прямоугольных частиц с $d = 1$ и $d = 2$ от площади прямоугольников для систем, сформированных

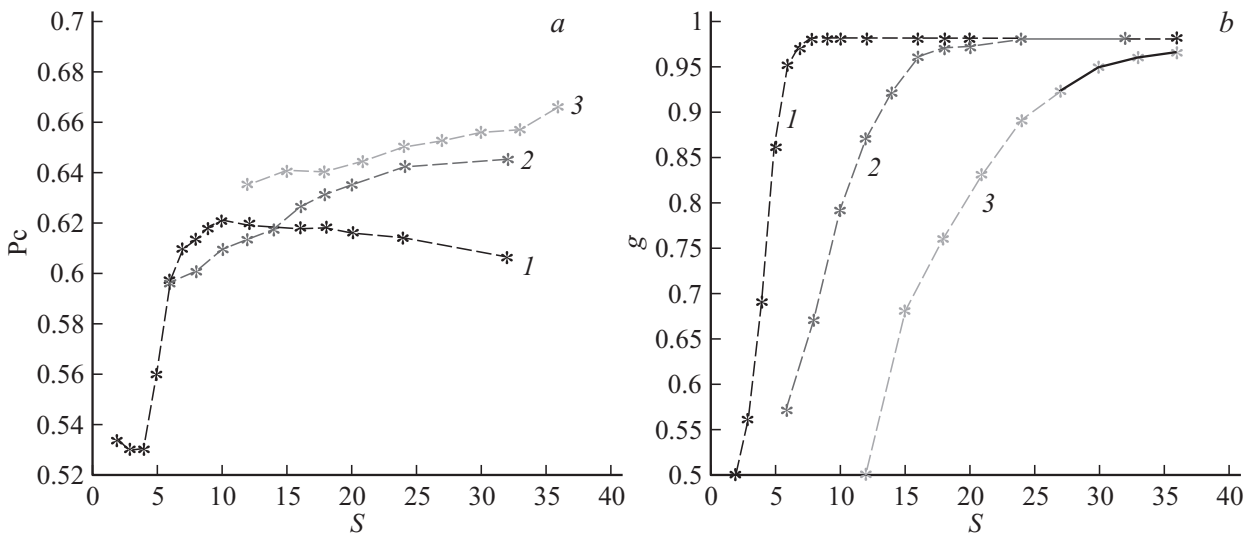


Рис. 5. Системы прямоугольников, сформированные по методу GSA. *a* — зависимости P_c от площади прямоугольников S . 1 — $d = 1$, 2 — $d = 2$, 3 — $d = 3$. *b* — зависимости степени ориентации прямоугольников g от S при $\rho = P_c(S)$. 1 — $d = 1$, 2 — 2, 3 — 3.

по механизму RSA. Рассматриваемые системы являются изотропными, т. е. степень ориентации частиц $g = 0.5$.

Из рисунка видно, что для прямоугольников с $d = 1$ (r -меров) критическая концентрация P_c при увеличении размеров частиц изменяется немонотонно. Порог перколяции уменьшается с ростом S при $S < 7$, в области $S \in (7 - 10)$ наблюдается широкий минимум, и при дальнейшем увеличении площади P_c начинает слабо расти. Для систем с $d = 2$ зависимость $P_c(S)$ демонстрирует очень слабый рост во всем исследуемом интервале изменений S . (Определение P_c при $S > 14$ или $L > 7$ невозможно из-за джемминга).

Наблюдаемое уменьшение величины порога перколяции на начальном участке кривой 1 на рис. 3, *a* может быть объяснено ростом удельного среднего исключенного объема $B = V_{excl}/S$ или плотности связей (контактов) при возрастании S . Средний исключенный объем для прямоугольников с длиной L и шириной d определяется следующим образом:

$$V_{excl} = g^2 V_{\parallel} + (g - 1)^2 V_{\parallel} + 2g(g - 1)V_{\perp}, \quad (4)$$

где $V_{\parallel} = 4Ld$ — исключенный объем двух параллельно ориентированных прямоугольников, $V_{\perp} = (L + d)^2$ — исключенный объем двух перпендикулярно ориентированных прямоугольников.

Из (4) следует, что для прямоугольников величина B , вообще говоря, зависит от S .

Таким образом, при $L > d$ $P_c(S)$ является функцией двух переменных $P_c(B(S), S)$. Вид функции $P_c(B(S), S)$ определяется совместным „вкладом“ каждой из двух величин, влияющих на значение порога перколяции. Для того чтобы оценить вклад каждой из переменных, определим функцию $\chi(B(S), S)$ со следующими свойствами:

- 1) $P_c(B(S), S) = T(\chi)$,
- 2) $\chi(B(S), S) = G(B(S))Q(S)$,
- 3) $P_c(B(S), S)$ обращается в минимум при $\chi = \chi_m$,
- 4) $P_c(B(S), S)$ убывает при $G(B(S)) > \chi_m Q(S)^{-1}$,
- 5) $P_c(B(S), S)$ возрастает при $G(B(S)) < \chi_m Q(S)^{-1}$.

В простейшем случае, очевидно, $\chi(B(S), S) = B/S$. Минимум функции $P_c(B(S), S)$ кривой 1 на рис. 3, *a* ($d = 1$) находится вблизи $S_m = 7$, следовательно, $\chi_m = \chi(B(S_m), S_m) \sim 0.93$. Функцию $T(\chi)$ зададим в виде

$$T(\chi) = a^* \exp(b^*(1 - \beta\chi^\alpha)^2), \quad (5)$$

где параметры β и α определяются из условия минимума функции при $\chi \approx \chi_m$ ($\beta = 1.02$, $\alpha = 0.26$), a и b — положительные коэффициенты, которые зависят от формы конкретных объектов (рис. 3, *a*). Таким образом, $P_c(B(S), S)$ убывает при $B > \chi_m S$ и возрастает при $B < \chi_m S$.

На рис. 3, *b* представлены зависимости χ от S для прямоугольников с $d = 1$ и $d = 2$. В первом случае функции $\chi(S)$ пересекают прямую $\chi = \chi_m$ (кривая 1), в то время как кривая 2 расположена ниже прямой. Такое поведение $\chi(S)$ объясняет немонотонный характер зависимости $P_c(S)$ при $d = 1$ и монотонное возрастание функции при $d = 2$ (рис. 3, *a*).

Эффект роста B в ориентационно-неупорядоченных средах, по-видимому, оказывает влияние на степень связности пор. Из рис. 4 видно, что зависимости $Pr(S)$ значительно слабее для прямоугольников, чем для квадратов (рис. 2, *a*), причем для частиц с $d = 2$ зависимость выражена сильнее, чем для r -меров. Тем не менее монотонность убывания $Pr(S)$ не нарушается ни в одном случае.

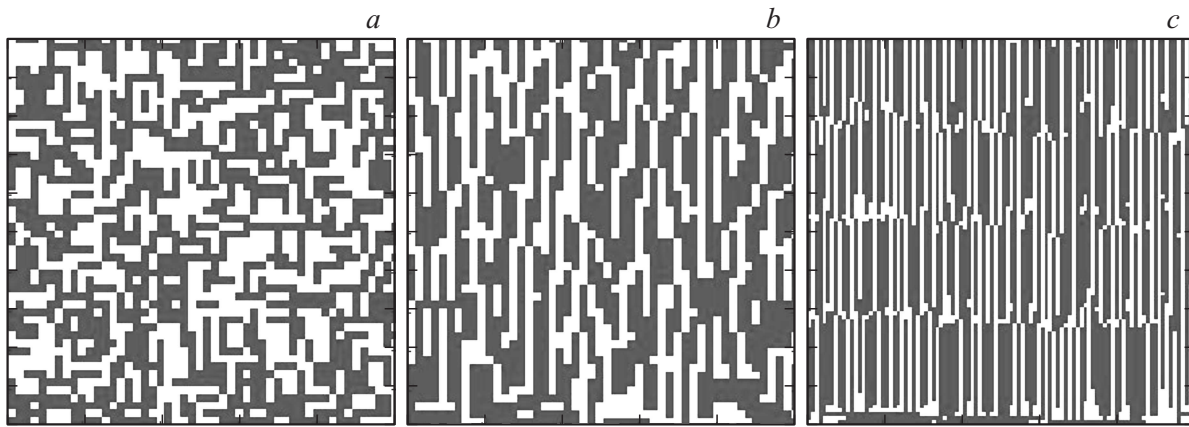


Рис. 6. Фазы, образуемые r -мерами. a — изотропная фаза. $L = 3$. b — нематическая фаза. $L = 6$. c — смектическая фаза. $L = 20$.

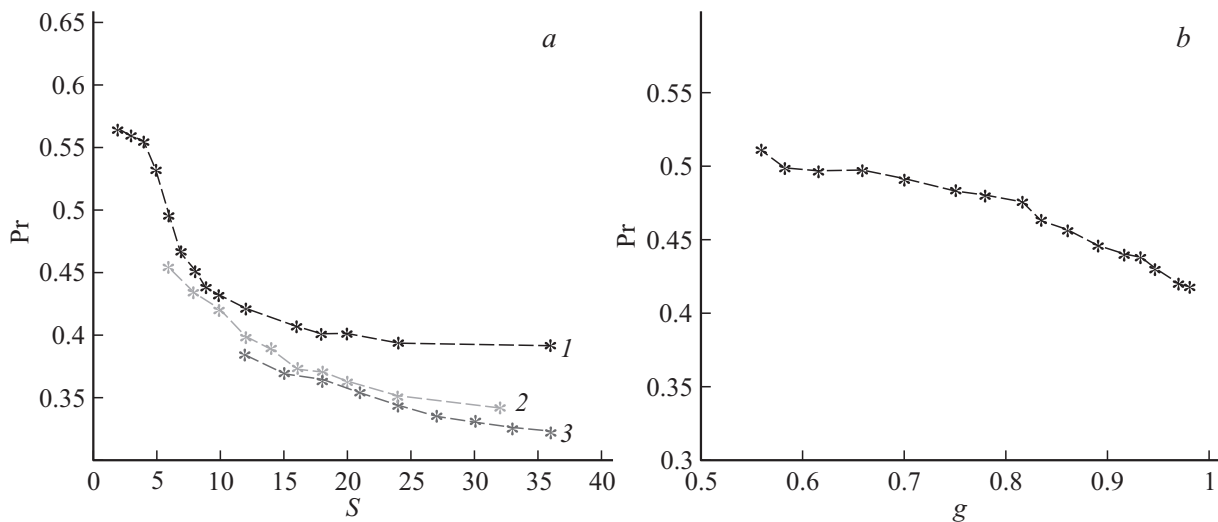


Рис. 7. a — зависимости порога перколяции пор Pr от площади прямоугольников S . 1 — $d = 1$, 2 — 2 , 3 — 3 . b — зависимости порога перколяции пор Pr от степени упорядочения r -меров g . $L = 12$.

2.2.2. Системы, сформированные методом GSA.

Особенность моделей пористых сред, реализуемых по алгоритму GSA, заключается в том, что в таких средах могут осуществляться фазовые переходы. Достаточно „длинные“ анизотропные частицы при определенном значении плотности заполнения самопроизвольно образуют ориентационно-упорядоченные фазы, так же как и в термодинамически равновесных системах. Рассмотрим кривую 1 на рис. 5, a , демонстрирующую изменения P_c при росте S для r -меров ($d = 1$). В области значений $S \in (2 - 4)$ зависимость порога перколяции от S практически отсутствует, далее в интервале значений $S \in (4 - 6)$ наблюдается резкий скачок P_c ; при дальнейшем увеличении площади прямоугольников кривая образует плато, а при $S \geq 12$ $P_c(S)$ медленно убывает. На рис. 5, b показаны зависимости степени упорядоченности от площади частиц. Сравнение кривых 1 на рис. 5, a, b позволяет сделать вывод о том, что изменение характера зависимости $P_c(S)$ при переходе от систем с $d = 1$,

$S \leq 4$ к системам с $d = 1$, $S \geq 5$ связано с резким возрастанием степени ориентации частиц в интервале изменений $S \in (4 - 6)$. Таким образом, r -меры с $S < 4$ при $\rho = P_c$ образуют неориентированную фазу, r -меры с $S \in (4 - 6)$ — частично ориентированную фазу, и при $S > 6$ r -меры практически полностью ориентированы. Рост критической концентрации при ориентации частиц объясняется тем, что увеличение g приводит к уменьшению среднего исключенного объема (формула (4)).

Представляет интерес изменение характера зависимости $P_c(S)$ r -меров при $S \geq 12$. Этот эффект вызван, по-видимому, дополнительным упорядочением ориентированных структур при увеличении размеров прямоугольников, а именно упорядочением центров частиц, или трансляционным упорядочением. На рис. 6 показаны моментальные снимки (snapshots) систем r -меров в различных фазовых состояниях. На снимке 6, a изображена неупорядоченная изотропная фаза. На рис. 6, b показана нематическая фаза r -меров, характеризующаяся ориентационным упорядочением и трансляционным

беспорядком. На рис. 6, *c* представлена смектическая ориентированная фаза, в которой частицы распределены периодическими слоями (трансляционное упорядочение). Очевидно, для r -меров, образующих периодическую структуру, увеличение размера прямоугольника, т.е. длины периода, приводит к понижению порога перколяции.

Прямоугольники с $d > 1$ также способны формировать ориентированные структуры (рис. 5, *a, b*), однако увеличение степени упорядоченности не приводит к таким резким изменениям перколяционных свойств частиц, как в случае r -меров. Это не удивительно, поскольку относительное изменение исключенного объема при возрастании g для прямоугольников с $d = 2$ и $d = 3$ не является столь значительным, как для прямоугольников с $d = 1$ при одинаковых площадях фигур. Частицы с $d = 2$, $L \geq 18$ образуют смектическую фазу, для частиц с $d = 3$ в исследуемом диапазоне изменений S периодическая структура не реализуется.

Интересно, что кривая зависимости $\text{Pr}(S)$ для систем r -меров (рис. 7, *a*) также имеет S -образный вид, характерный для кривых фазовых переходов. Величина порога перколяции пор изменяется незначительно в области малых значений S , в интервале $S \in (4 - 6)$, $\text{Pr}(S)$ резко убывает, при дальнейшем увеличении размера частиц график постепенно выходит на плато. Наблюдаемые особенности графика указывают на зависимость порога перколяции пор от степени ориентации твердых частиц. Действительно, ориентация r -меров приводит к понижению значения Pr , рис. 7, *b*.

Заключение

В работе исследована зависимость перколяционных переходов твердых прямоугольных частиц в пористой среде от размеров и формы прямоугольников. Показано, что на критическую концентрацию P_c оказывают влияние преимущественно два фактора: равномерность распределения частиц по объему системы и величина удельного исключенного объема. В случае изотропных частиц первый фактор является определяющим. При увеличении размеров квадратов равномерность распределения нарушается, что приводит к возрастанию значения порога перколяции. В случае анизотропных частиц увеличение площади прямоугольников S приводит к изменению средней величины удельного исключенного объема B ; причем для неориентированных частиц $B(S)$ есть возрастающая функция. Возрастание степени ориентации прямоугольников g ведет к убыванию $B(g)$, при этом для частиц с сильной анизотропией формы ($d = 1$, $L > 4$) критическая концентрация резко возрастает.

Установлено, что увеличение размеров прямоугольников во всех случаях приводит к уменьшению порога перколяции пор и увеличению проницаемости среды. Наиболее сильно этот эффект проявляется для изотропных частиц. Показано также, что критическая концентрация пор для ориентационно-упорядоченных структур r -меров ниже, чем в случае неупорядоченных сред.

Работа выполнена при поддержке Российского фонда фундаментальных исследований (грант № 13-08-00553).

Список литературы

- [1] Nakamura M. // J. Phys. A: Math. Gen. 1986. Vol. 19. P. 2345–2351.
- [2] Nakamura M. // Phys. Rev. A. 1987. Vol. 36. P. 2384–2388.
- [3] Beckleheimer J., Pandey R.B. // Physica A. 1992. Vol. 187. P. 71–76.
- [4] Vandewalle N., Galam S., Kramer M. // Eur. Phys. J. B. 2000. Vol. 14. P. 407–410.
- [5] Kondrat G., Pekalski A. // Phys. Rev. E. 2001. Vol. 63(5). P. 051108(1–5).
- [6] Balberg I., Anderson C.H., Alexander S., Wagner N. // Phys. Rev. B. 1984. Vol. 30. P. 3933–3943.
- [7] Cherkasova V.A., Tarasevich Y.Y., Lebovka N.I., Ygornitskii N.V. // Eur. Phys. J. B. 2010. Vol. 74(2). P. 205–209.
- [8] Лебовка Н.И., Выгорницкий Н.В., Гончарук А.И. // Наноструктурное материаловедение. 2011. № 4. С. 57–65.
- [9] Heras D., Martinez-Raton Y., Velasco E. // Phys. Rev. E. 2007. Vol. 76. P. 031704(1–11).
- [10] Bear J. Dynamics of Fluids in Porous Media. New York: Elsevier, 764 p.